

-insbesondere Deliqueszenzkorrosion-

Müller W., Spiegel W., Hemrich R.



Befunde vor Ort, Deliqueszenzkorrosion





Hintergrund

- **Deliqueszenzkorrosion** erhöhte Instandhaltungsaufwendungen, mangelnde Verfügbarkeit, Verschlechterung des Wirkungsgrades
- Gerade vermeintlich unkomplizierte Biomasse-Brennstoffe bergen hohe Risiken
- Temperaturabsenkung am Kesselende aus Energieeffizienzgründen
 → elektrolytische Korrosion: 80 130 °C
- Überlagerung verschiedener elektrolytischer Korrosionsarten → komplizierte
 Nachweisbarkeit
- Korrosionsraten von 4 mm / 12 Monaten möglich



Deliqueszente Salze

Insbesondere Halogensalze, wie z.B.

Calciumchlorid CaCl₂

Sehr hygroskopisch: CaCl₂ x 6H₂O plus freies Kristallwasser (bekannt auch als Luftentfeuchter aus dem Baumarkt)

Ammoniumchlorid NH₄Cl

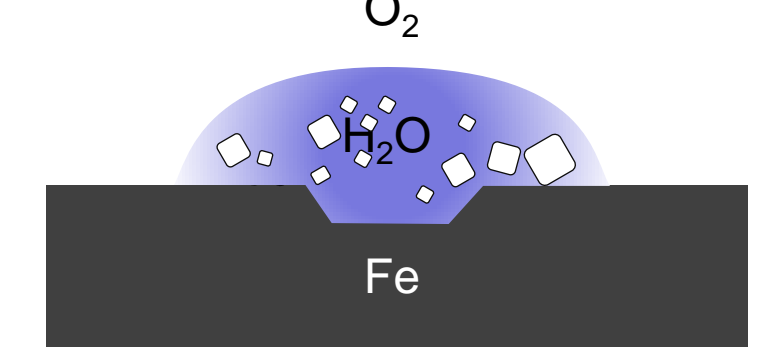
Verbindung der Gase Ammoniak NH₃ und HCl ergibt das Salz Ammonium (NH₄+)-Chlorid (Cl-) desublimiert erst bei niedrigen Temperaturen als Feststoff aus dem Rauchgas, korrosionsrelevant wegen des Potentials zur Zerstörung von Oxidschichten (bekannt auch vom Löten)

- Ammoniumbromid NH₄Br
- Zinkchlorid ZnCl₂
- Eisenchloride
- aber auch Phosphorpentoxid, Kaliumcarbonat ("Pottasche") und einzelne Sulfate



Deliqueszente Salze

Deliqueszente Salze sind so stark hygroskopisch, dass sie zerfließen und einen Elektrolyten bilden (gesättigte, saure Salzlösung).

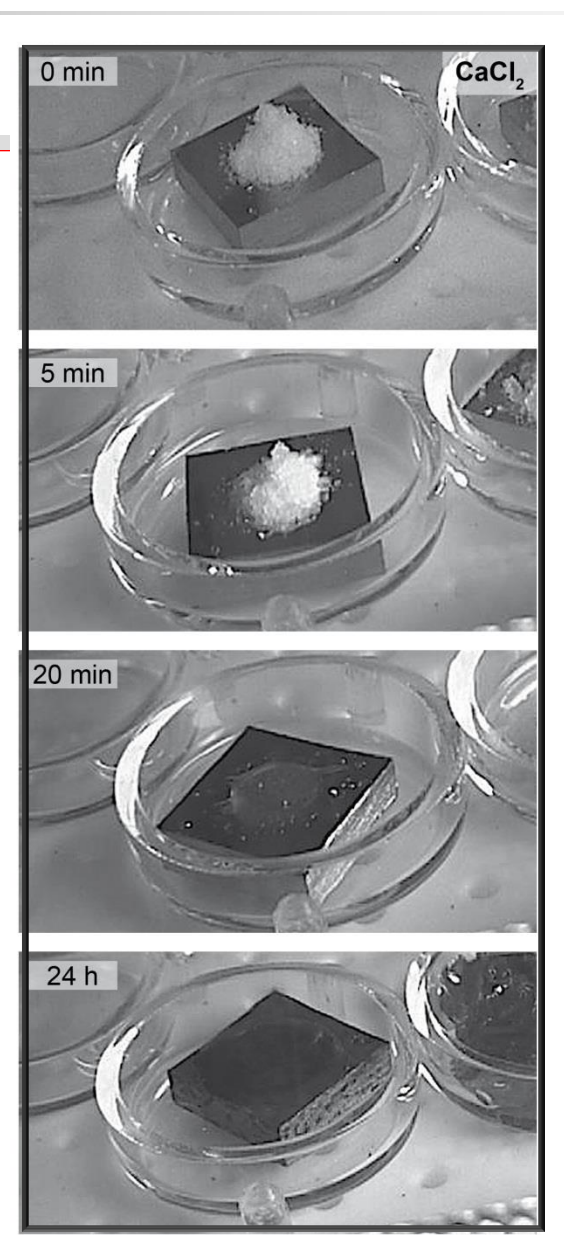


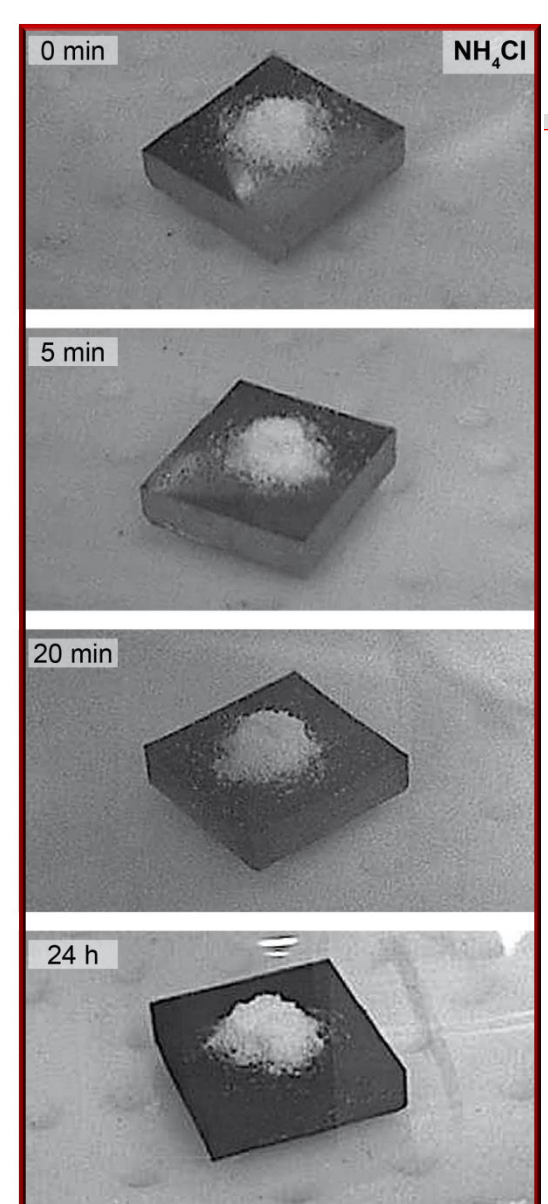
Beispiele:

Calciumchlorid CaCl₂

Ammoniumchlorid NH₄Cl

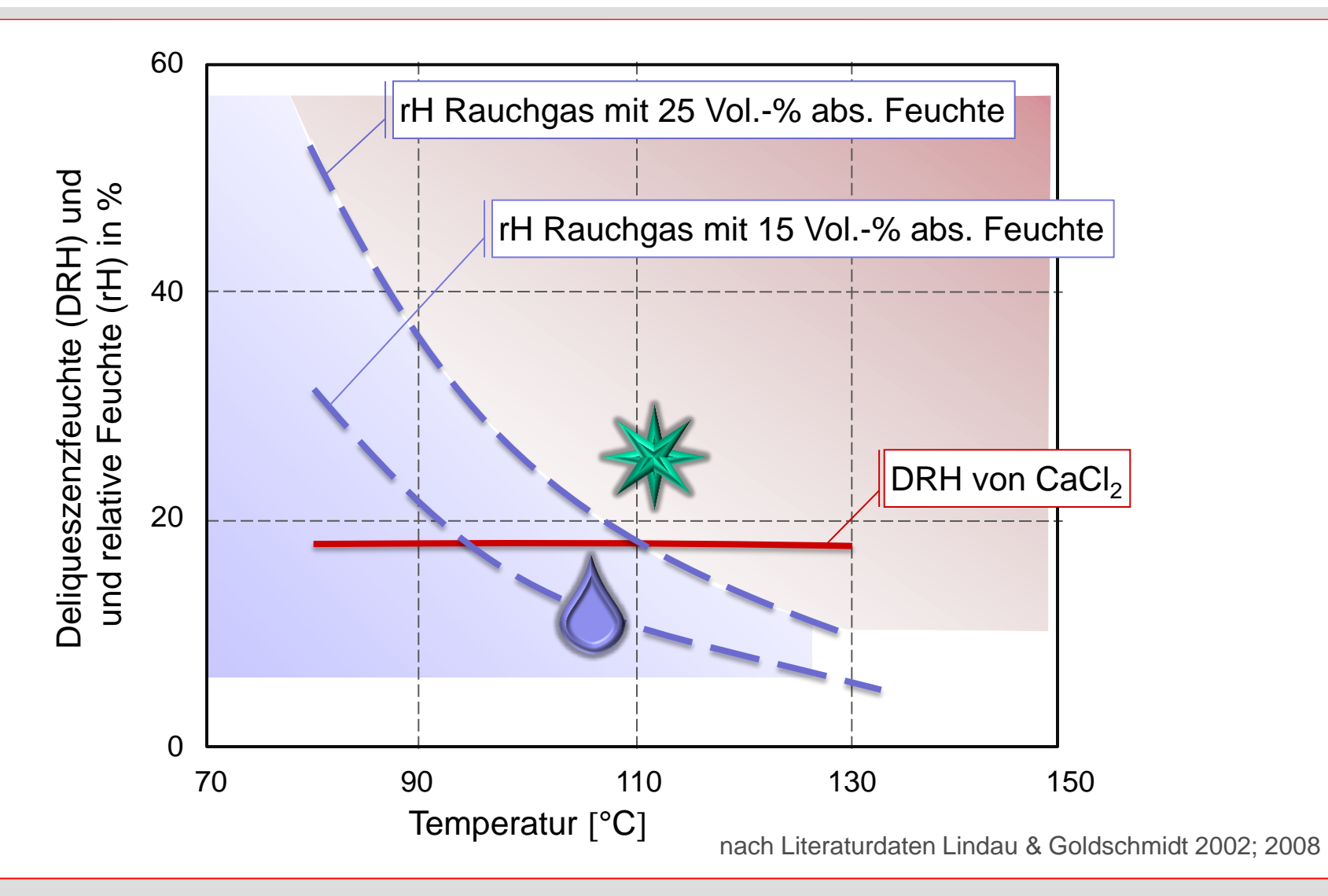
Versuche zur Korrosivität bei gegebenem O2- und Feuchte-Gehalt, sowie Materialtemperatur (Fotos einer WebCam: geringe Auflösung)







Mechanismus: Deliqueszenzfeuchte

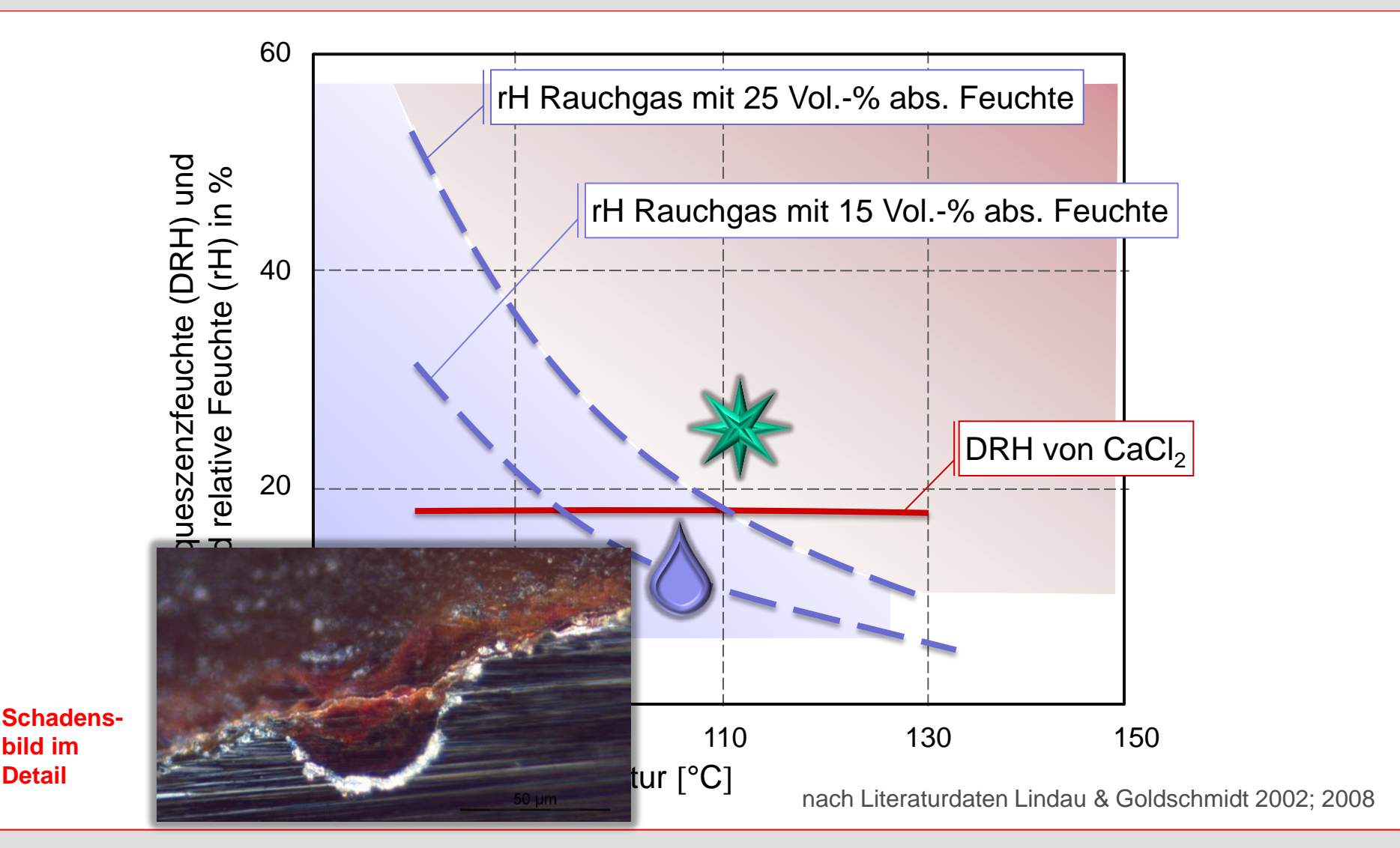




Mechanismus: Deliqueszenzfeuchte

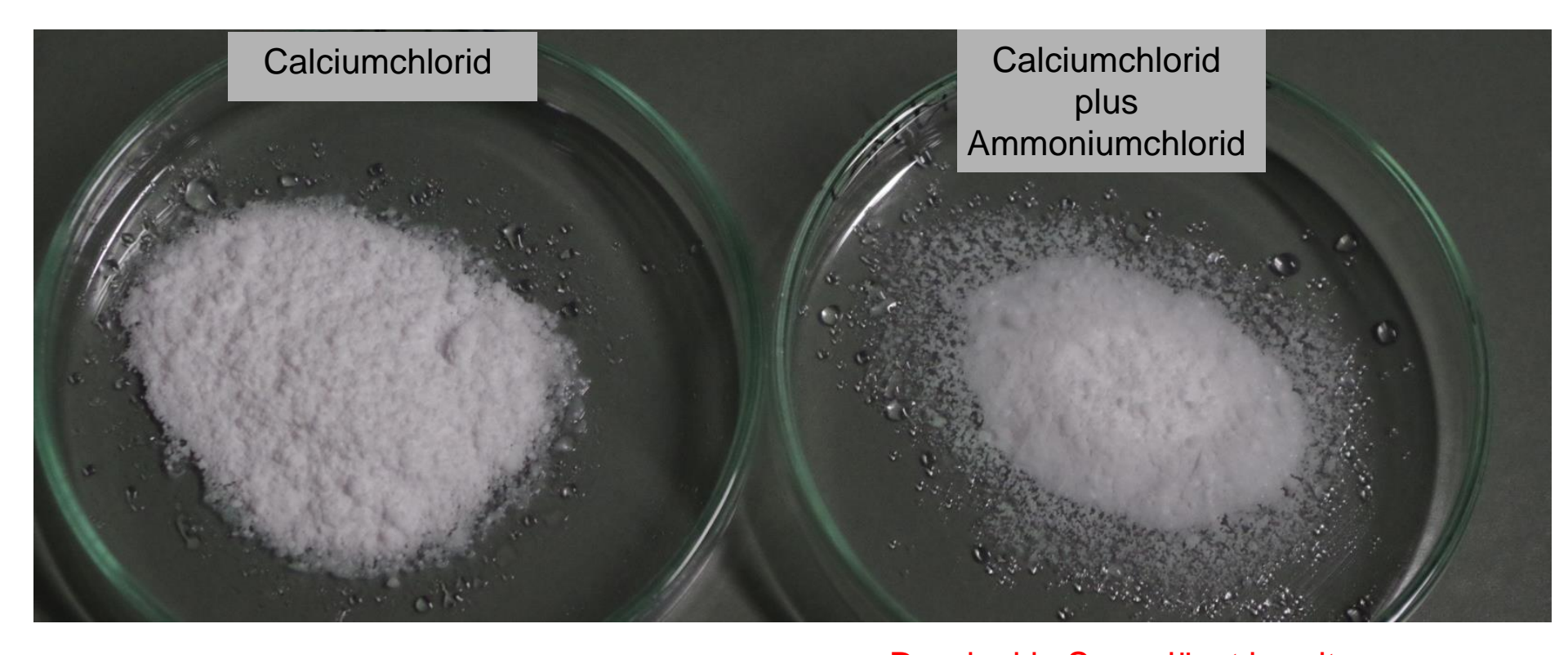
bild im

Detail





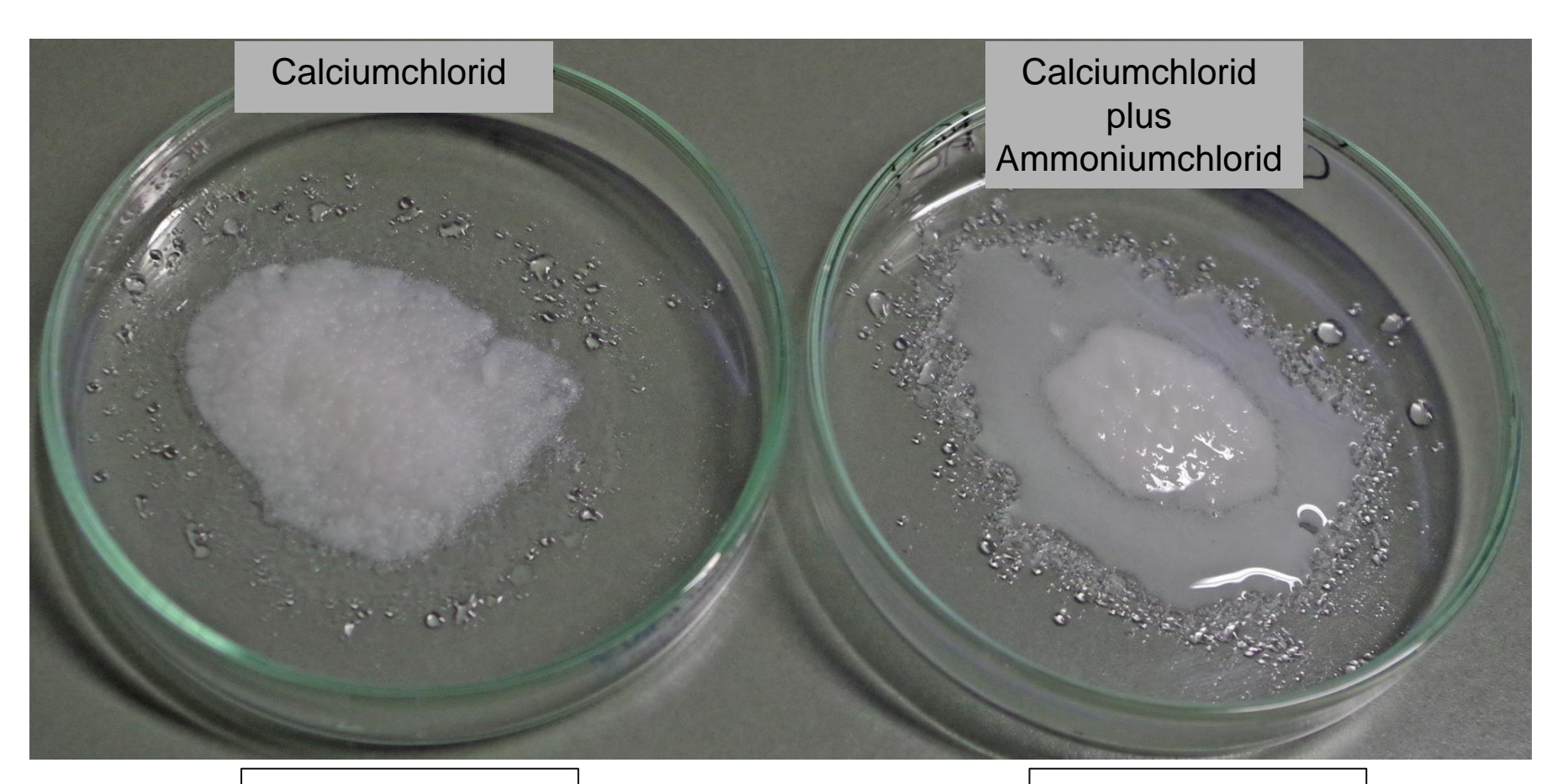
Salzmischungen verstärken die Deliqueszenz



Analoges gilt z.B. für ein Gemisch von Ammoniumchlorid und Ammoniumbromid Der dunkle Saum lässt bereits nach kurzer Zeit die stärkere Durchfeuchtung der Salzmischung erkennen



Salzmischungen verstärken die Deliqueszenz



feucht

Elektrolyt

Luftfeuchte im Bereich der Deliqueszenzfeuchte von Calciumchlorid



Weitere Reaktionen

Nebenaspekt am kalten Ende: Milieuwechsel

Festes Calciumoxid ("gebrannter Kalk") reagiert bereits im trockenen Zustand mit desublimiertem Ammoniumchlorid.

Es bildet sich dabei krustiges (hygroskopisches) Calciumchlorid. Der Ammoniak wird frei (Gas).

CaO + 2 NH₄Cl
$$\rightarrow$$
 CaCl₂ + H₂O + 2 NH₃ (gasförmig)

Wenn dann erneut Ammoniumchlorid durch Desublimation hinzukommt, entsteht aus der Mischung von Calciumchlorid und Ammoniumchlorid ggf. ein Elektrolyt (je nach Feuchte und Temperatur). Calciumoxid (wie auch Calciumhydroxid, Ca(OH)₂, "gelöschter Kalk") können den Ammoniak wieder freisetzen, es wird weiteres Calciumchlorid gebildet.

Folgen: Anbackungen und schwieriger Nachweis von Korrosionsursachen.



Calciumoxid und Ammoniumchlorid erzeugt Calciumchlorid-Verkrustung, Ammoniak ist flüchtig





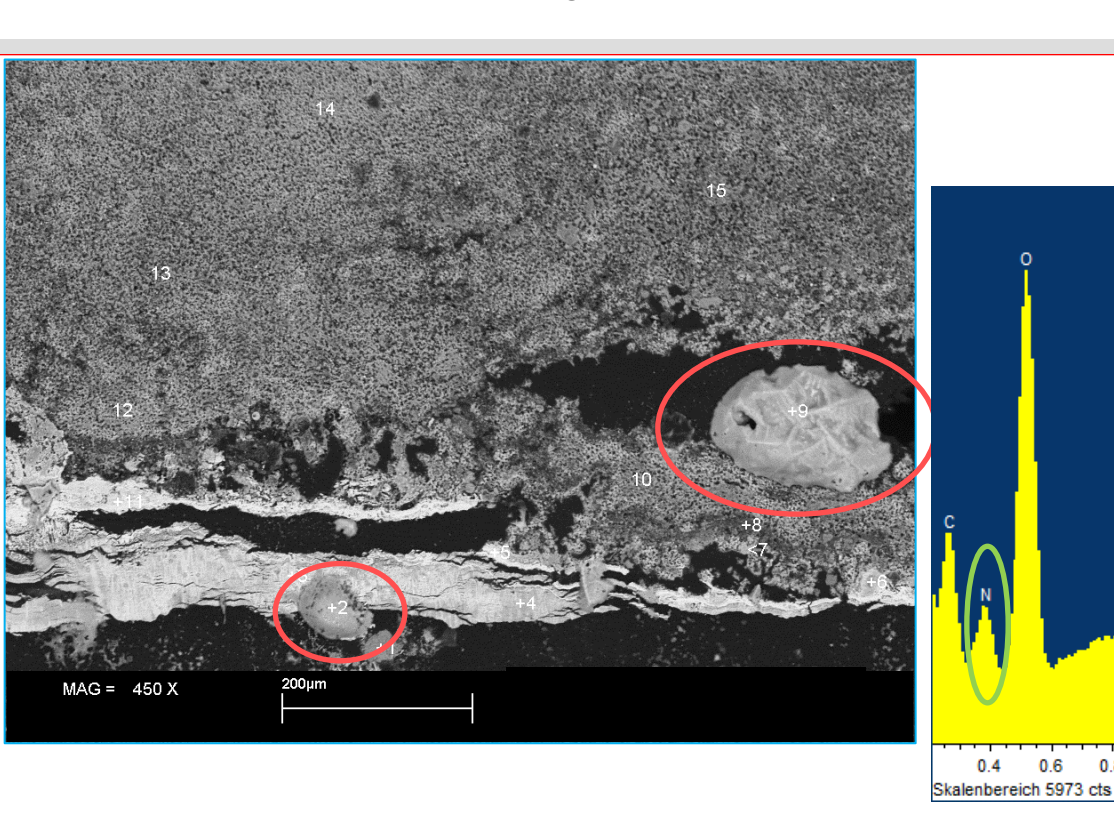
Diagnose

Komplizierte Ursachenermittlung

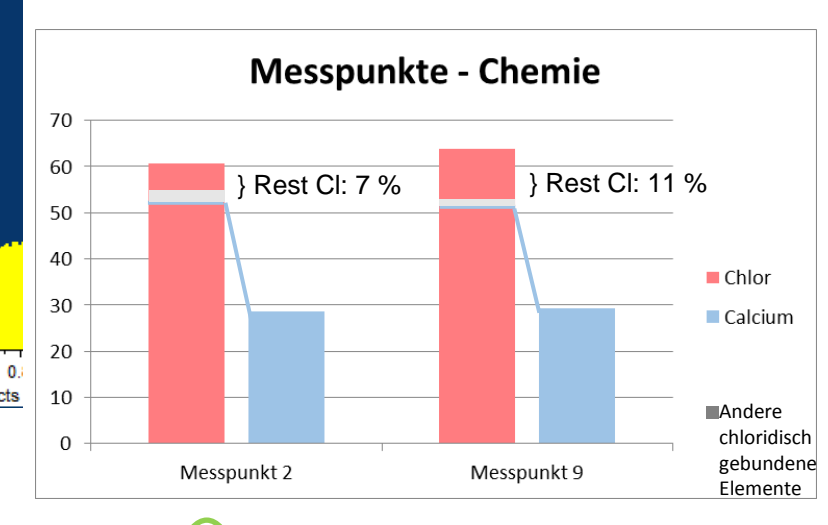
- 1) Der fortschreitende Korrosionsprozess verwischt die auslösenden chemisch-stofflichen Ursachen weitgehend
- 2) Die Temperaturschwellen lassen sich am Schadensobjekt oftmals nicht erkennen
- Die zeitlichen Abläufe, also wann bildet sich der Elektrolyt, lassen sich am Schadensobjekt meist nicht rekonstruieren
- 4) Ammoniumanalytik grundsätzlich
 - Stickstoff → sehr leichtes und flüchtiges Element
 - Nasschemie → bei basischem Milieu → Verflüchtigung
 - Feststoffuntersuchung (RFA) noch ungenau und bei basischem Milieu → Verflüchtigung
 - Röntgenstrukturanalyse → Hygroskopie löst die geordnete kristalline Struktur auf
 - Energieeinwirkung durch Analysemethode → Abdampfen des Stickstoffes



Ansätze zur Quantifizierung (Rasterelektronenmikroskop); überzeugender wäre ein echtes Abbild







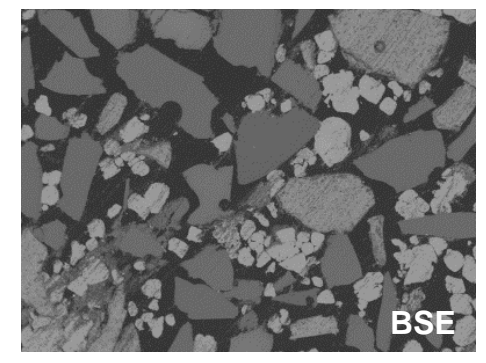
Messpunkte	0	Na	Mg	Al	Si	S	Cl	K	Ca	Mn	Fe	N
2	8,0	0,2					60,8	0,8	28,7		1,6	Х
9	5,5						63,9	1,4	29,2			Х
			-	-	-	-				-	-	abla

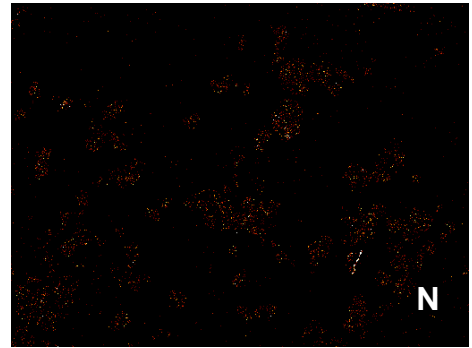
Punkt 2, $NH_4CI \rightarrow 11 \%$ Punkt 9, **NH₄CI → 17 %**

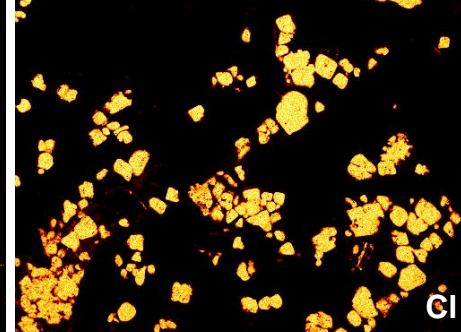


Standardmodus vor Optimierung der bildgebenden Messmethodik am REM

Standardmodus





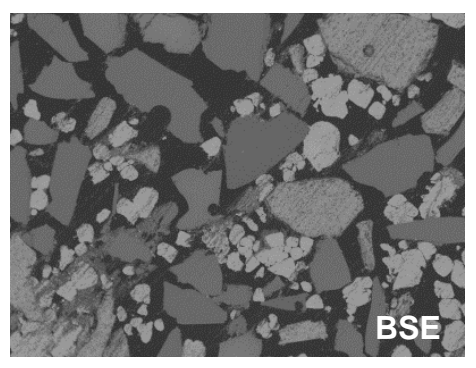


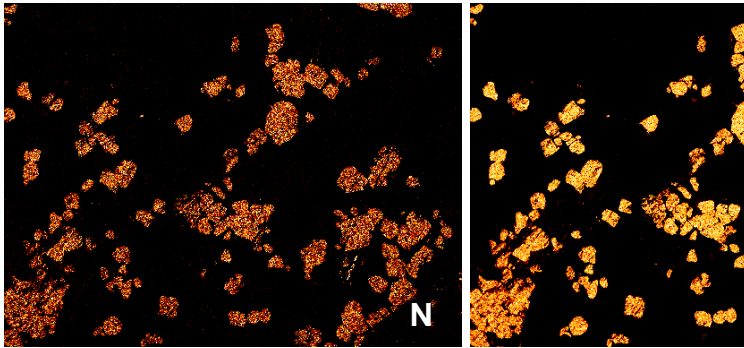
Elementverteilungsbild Stickstoff



Nach Optimierung der bildgebenden Messmethodik

Optimierter Modus zum Stickstoff-Nachweis

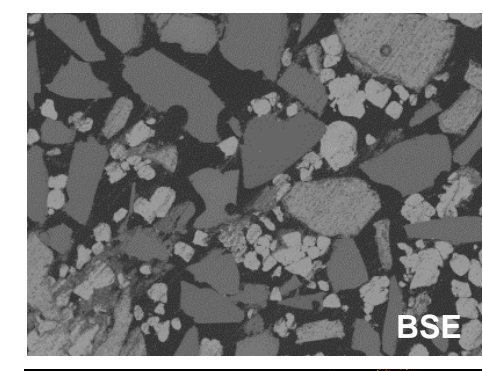




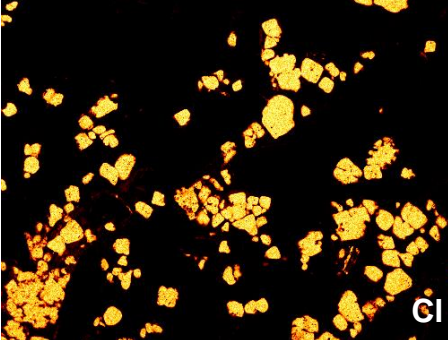
Elementverteilungsbild Stickstoff-optimierter Modus

Ortsaufgelöster Nachweis

Standardmodus







Elementverteilungsbild Stickstoff Standardmodus



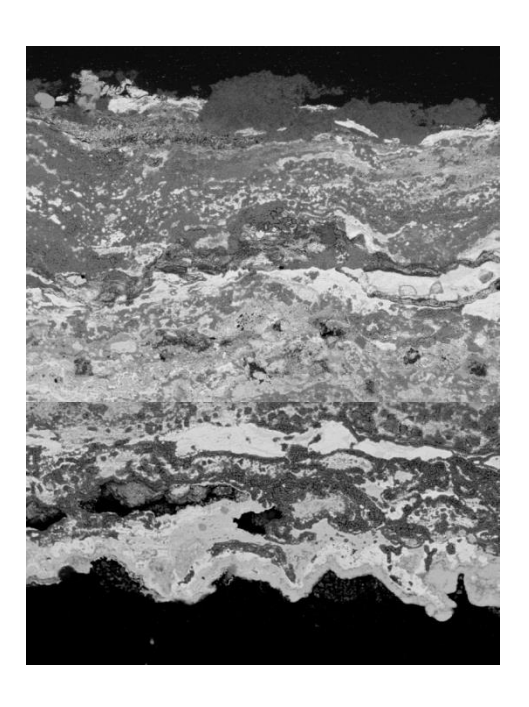
Schadensprobe, Lichtmikroskop, REM-EDX / Elementverteilungsbilder

Hoher Gehalt Niedriger Gehalt

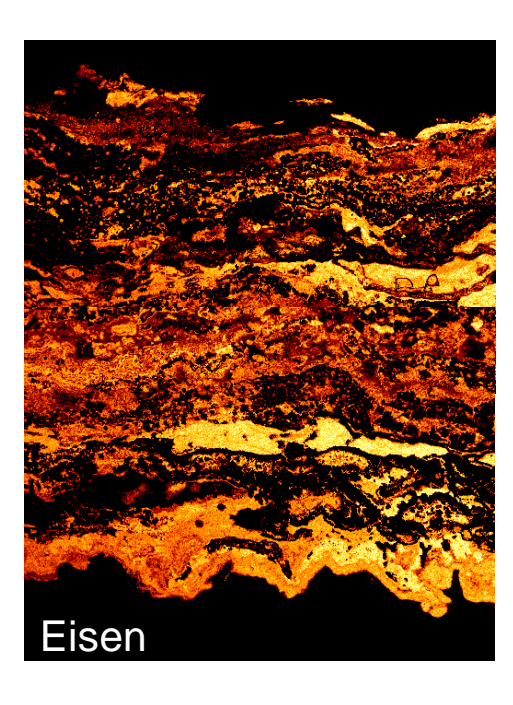


Lichtmikroskop





REM (BSE-Modus) = Graustufenbild der Massenverteilung

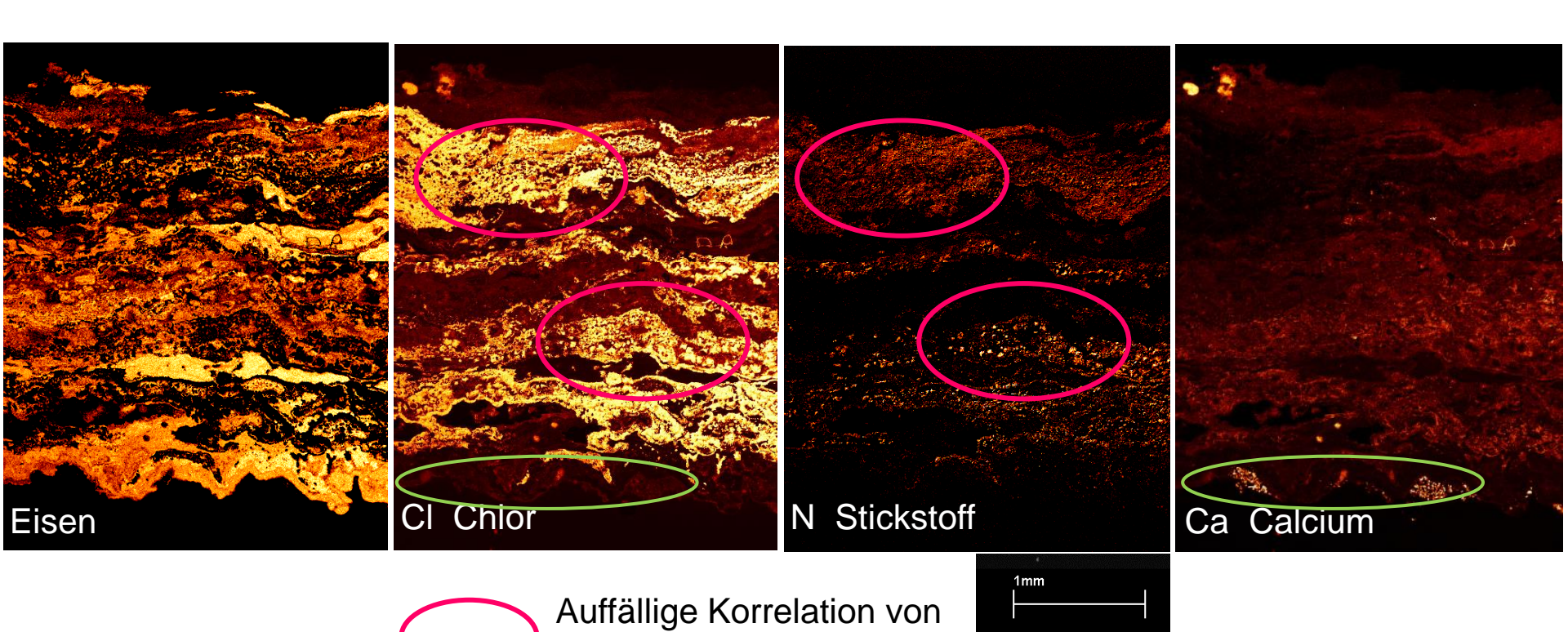


REM Elementverteilung



REM-EDX / Elementverteilungsbilder / Korrelationen

Hoher Gehalt Niedriger Gehalt



Die Farbabstufung der Elementverteilungsbilder bezieht sich auf die Elementanreicherung.

Farbverlauf von schwarz über orange bis hellgelb. Schwarz stellt, relativ für jedes Element, den geringsten Gehalt und hellgelb den höchsten Gehalt dar.

Chlor und Stickstoff (als

Keine Korrelation von Chlor

Ammoniumchlorid)

und Calcium



Diagnosebedarf im Anlagenbetrieb

- 1) Verursachende Stoffe, auch in Wechselwirkung (Salze, Säuren)
- 2) Relevante Temperaturschwellen bzw. Temperaturfenster
- 3) Auslösende betriebliche Randbedingungen



Diagnose im laufenden Betrieb: Monitoring

• Lösungsansatz: kontrollierbare Milieubedingungen erzeugen – in Bezug auf Chemie, Phasen als auch Temperatur und zeitliche Zusammenhänge.

→Temperature-Range-Probe (TRP)

- Bezug zum primären Korrosionsauslöser: Kurzfristiger Einsatz ermöglicht Analytik der Beläge, bevor der weitere Korrosionsverlauf "Spuren verwischt"
- **2) Zeitbezug** zu Prozessabläufen (z. B. Fokus auf Anfahrprozess etc.)
- **3) Temperaturbezug** durch frei wählbare Temperaturbereiche entlang der Sonde



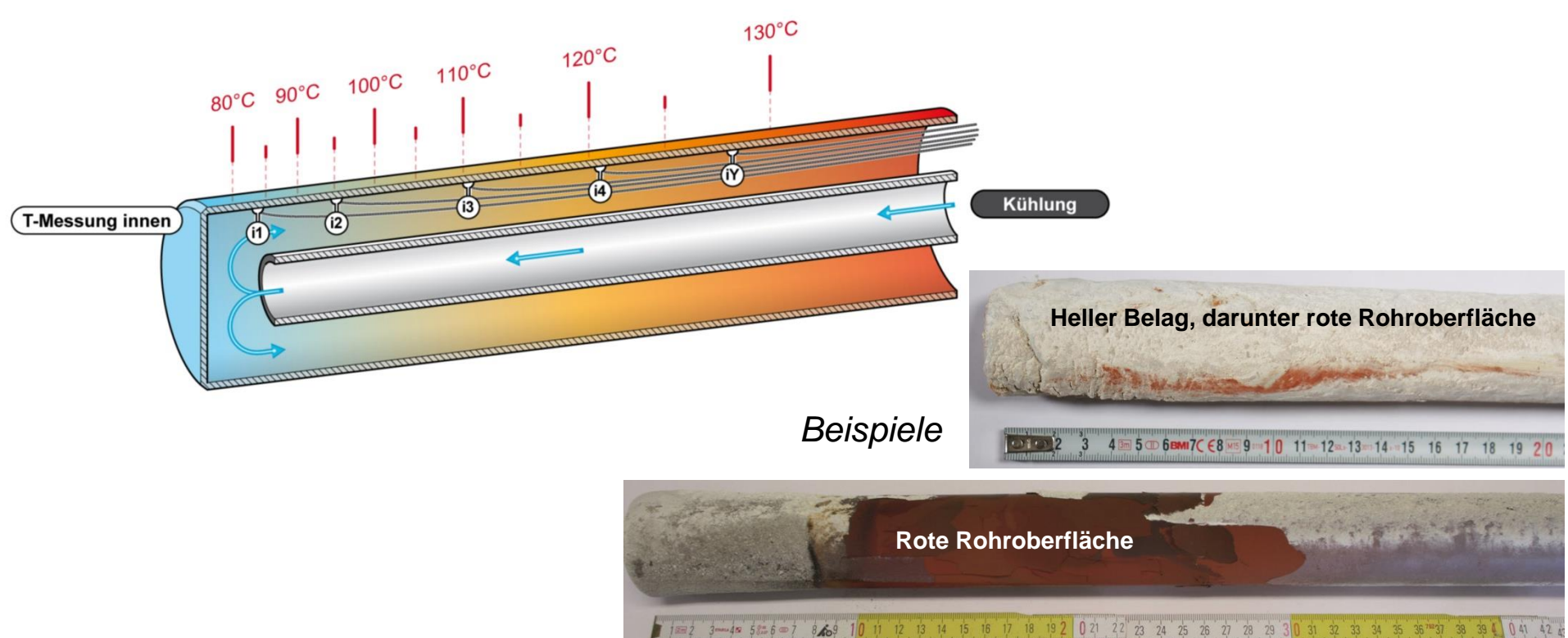


Diagnose - TRP

Funktionsprinzip der Sonde: geregelte Luftkühlung, Abbildung eines Temperaturbereichs.

Fragestellung als Beispiel.:

Bis zu welcher Temperaturschwelle ist eine Absenkung der Mediumstemperatur am Economizer zur Effizienzsteigerung der Anlage aus Korrosionssicht möglich und sinnvoll?





Strategien zur Minderung und Vermeidung

Entsprechend der Diagnoseergebnisse k\u00f6nnen weitere Optimierungen realisiert werden

TRP's ermöglichen

→ Testen möglicher Variationen von Brennstoff, Feuerung oder anderer Betriebsparameter (Einsatzzeit: wenige Tage)

→ Testen anderer Grundwerkstoffe oder zusätzlicher Schutzschichten auf Korrosionsresistenz (Einsatzzeit: 1-2 Monate)

 $\rightarrow \dots$

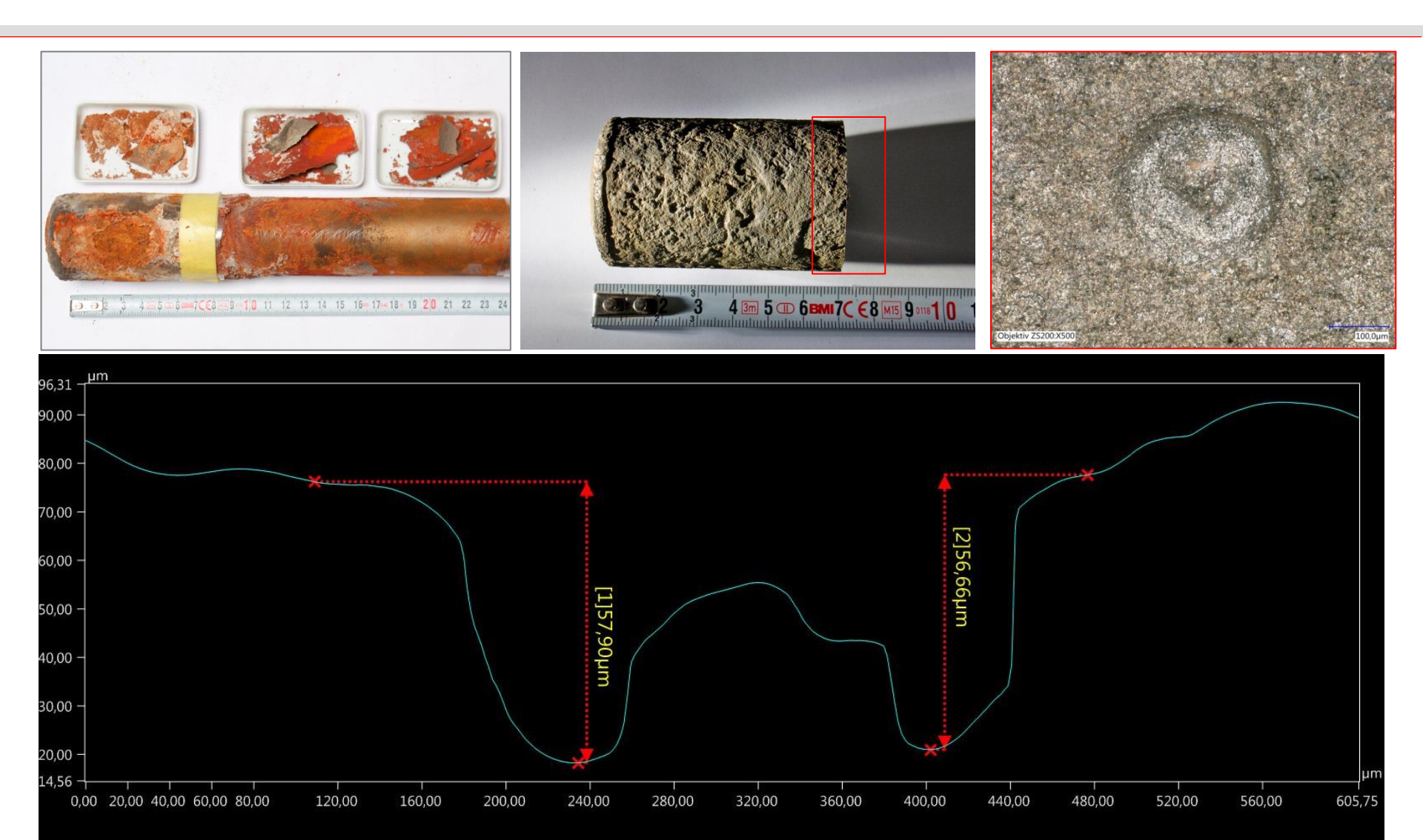


Frühzeitiges Erkennen von Anpassungsbedarf im **Gewährleistungszeitraum**.

Ermitteln der **Potentiale** zur Steigerung der Energieeffizienz / Verfügbarkeit.

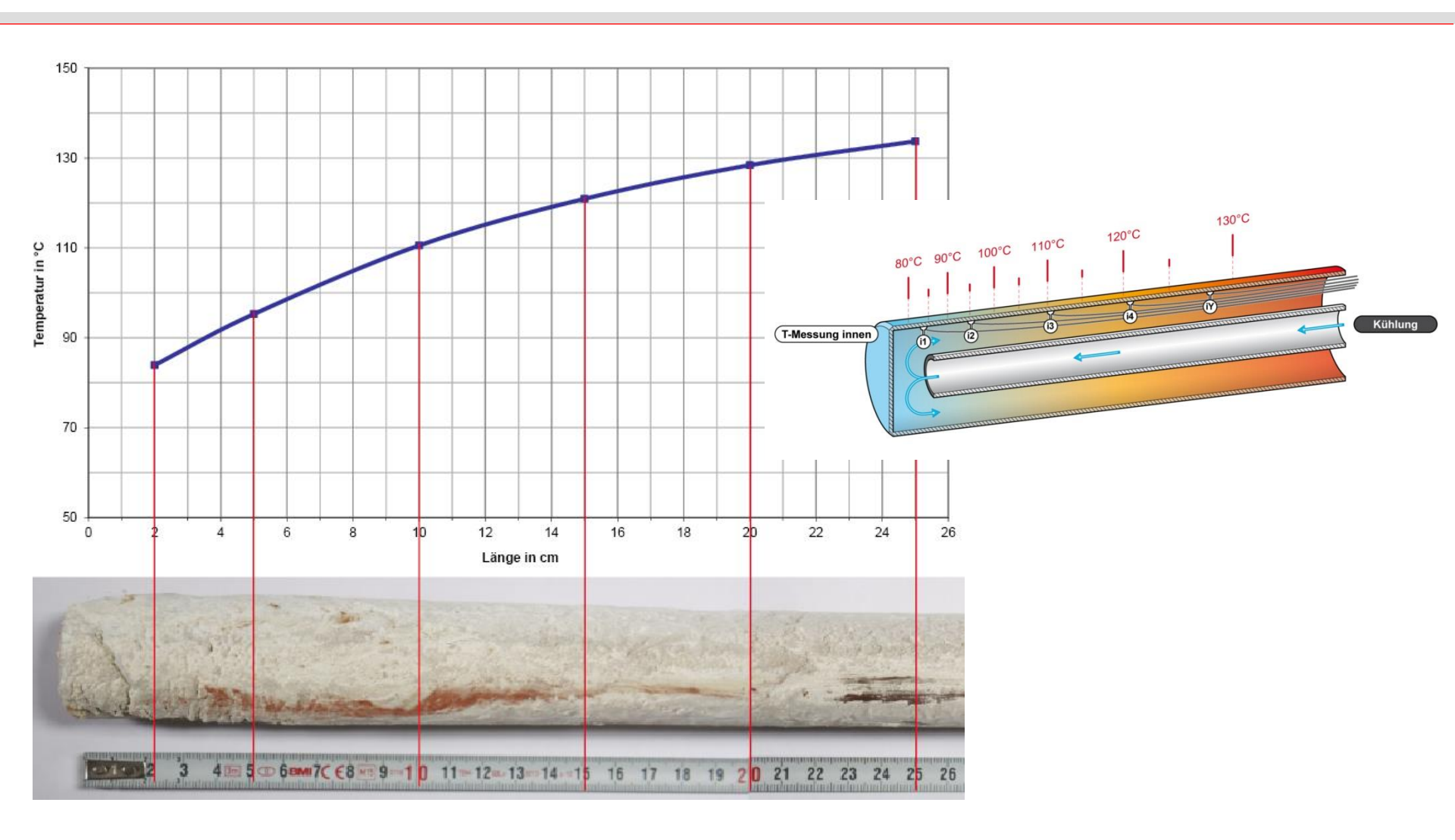


Beispiel: Abschätzung von Abzehrraten



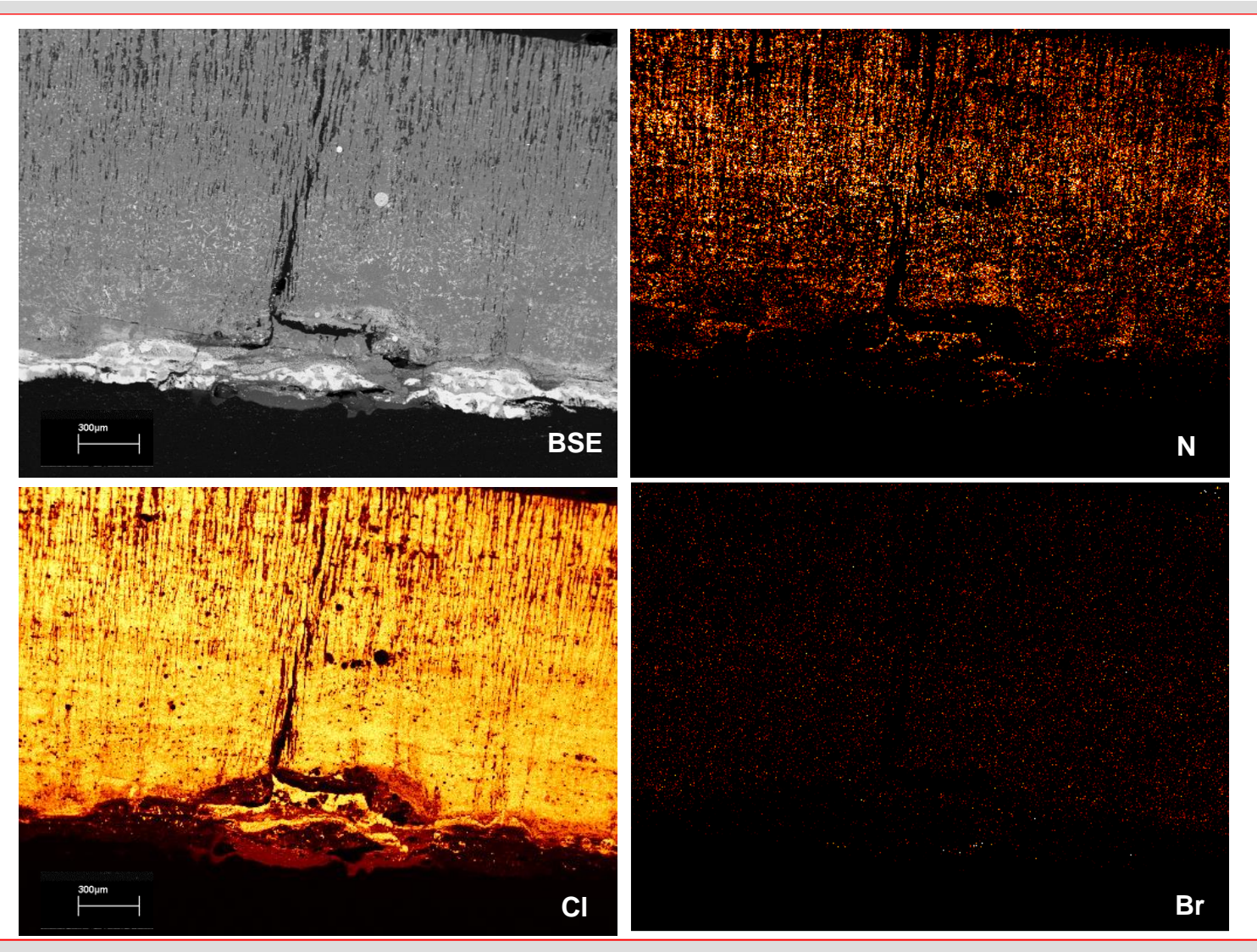


Beispiel Analytik (Korrosionsursache / Mechanismen / Schwellen)





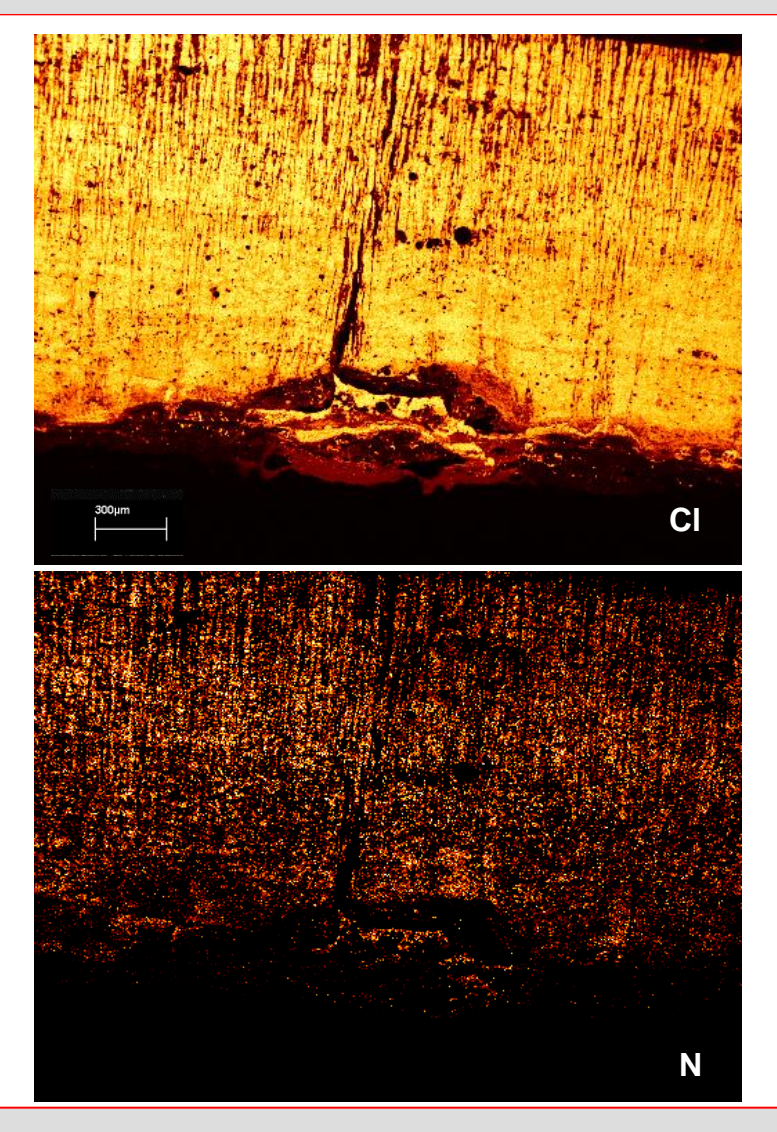
REM-Analytik – Sonde bei ca. 110 °C, Elementverteilungsbilder des Schliffpräparates



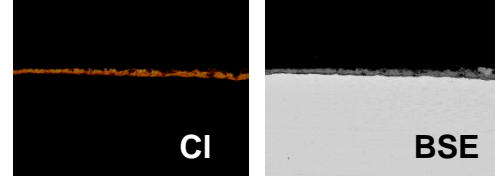
Stängeliges Wachstum von **Ammonium chlorid** als Anzeiger der Ausscheidung direkt aus der Gasphase (Desublimation)

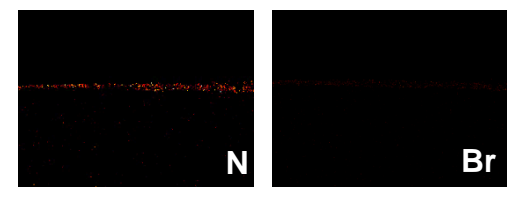


REM-Analytik – Sonde bei höherer Temperatur zum Vergleich



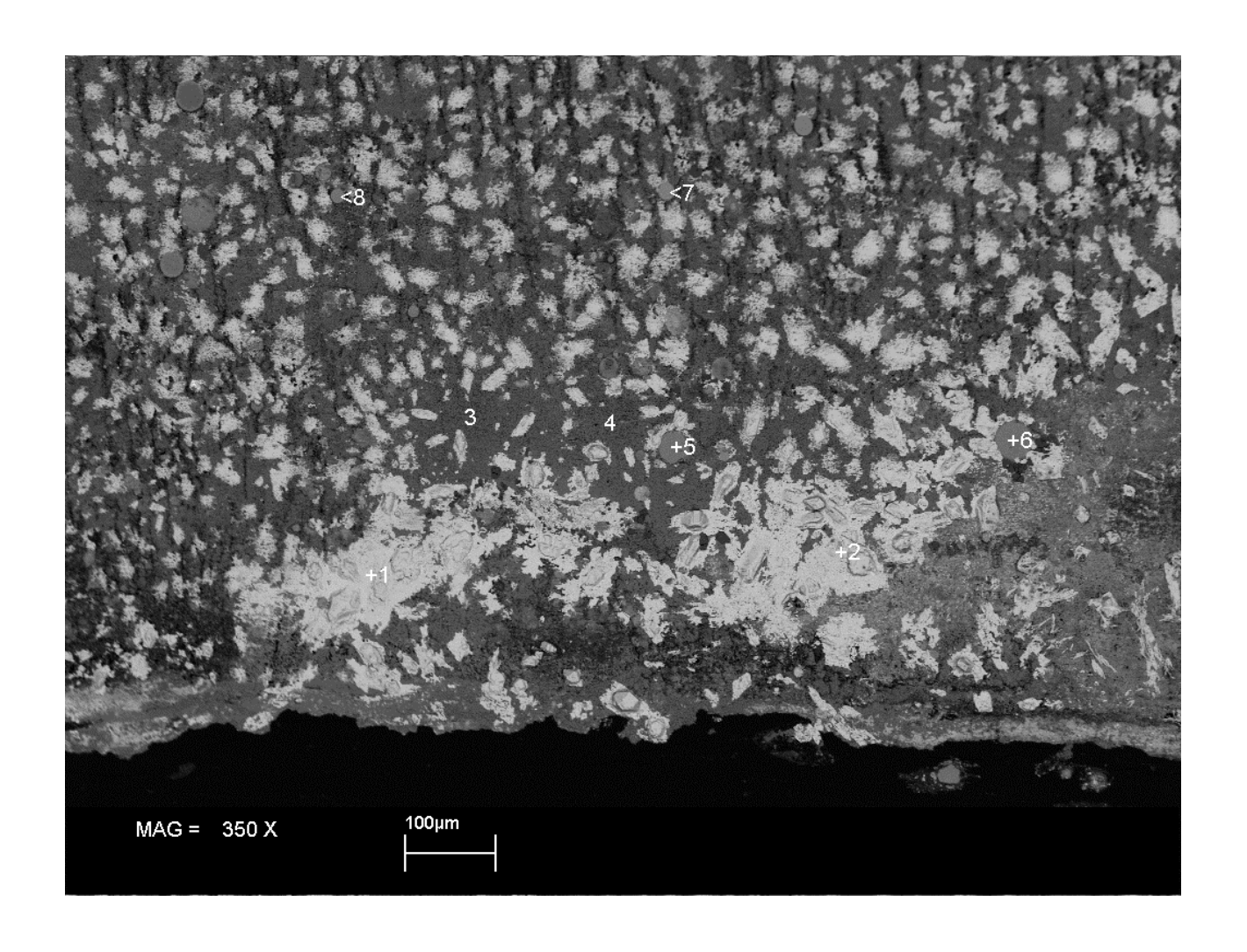
Bei höherer **Temperatur** (gleicher Maßstab)







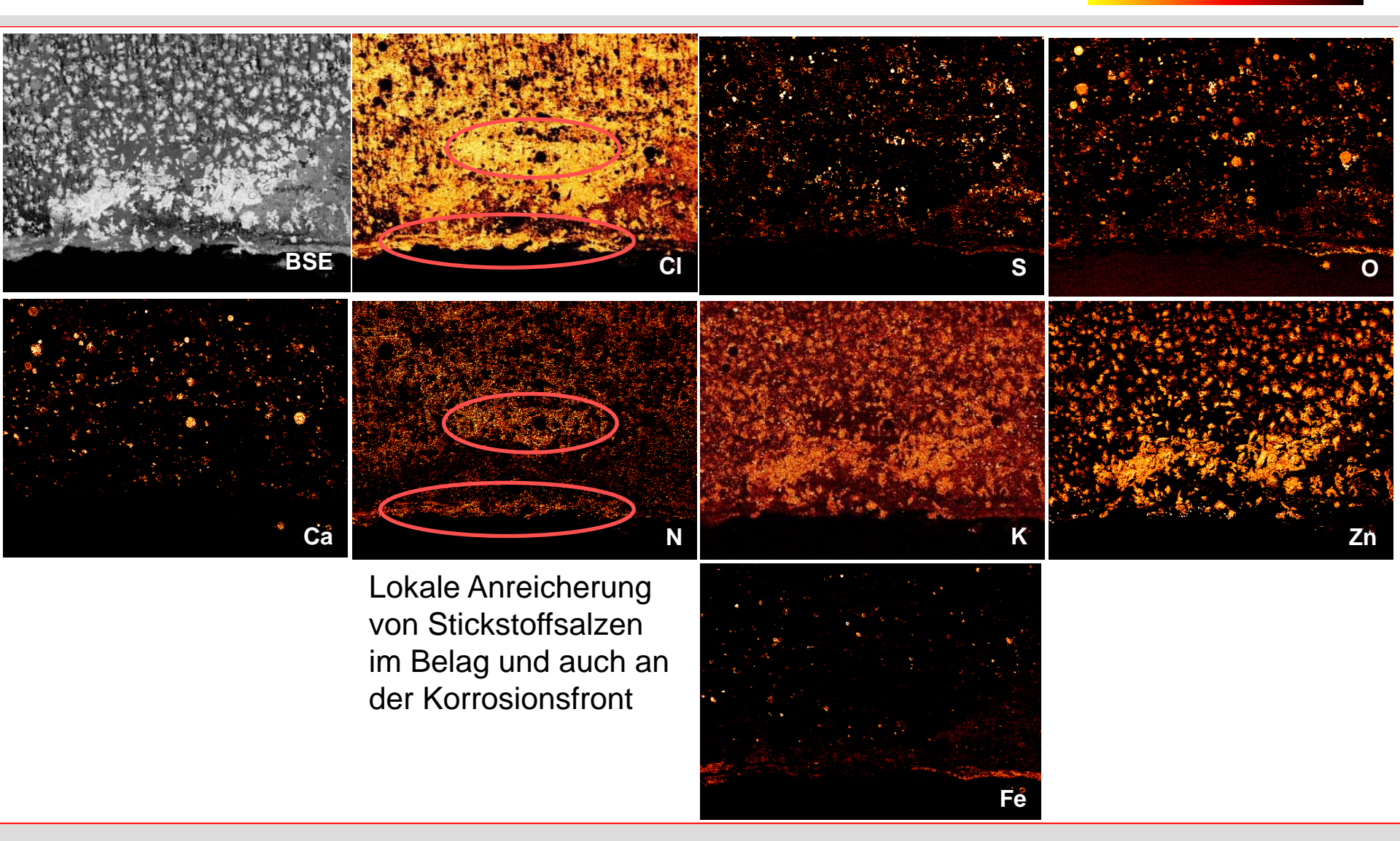
Beispiel für ein anderes, komplexeres Belagsgefüge





Komplexe Elementverteilung im Belagsgefüge

Hoher Gehalt Niedriger Gehalt





Weiteres Beispiel: Schwefelsäuretaupunkt



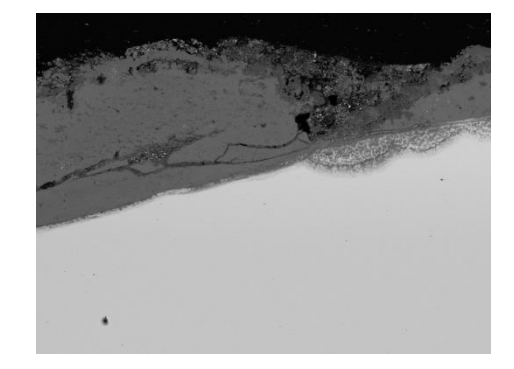
Beispiel – niedriges Temperaturmilieu: Hier Schwefelsäure

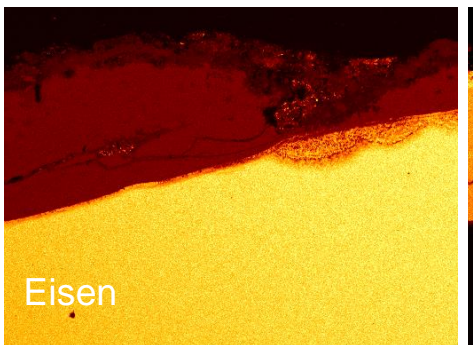
Hoher Gehalt Niedriger Gehalt

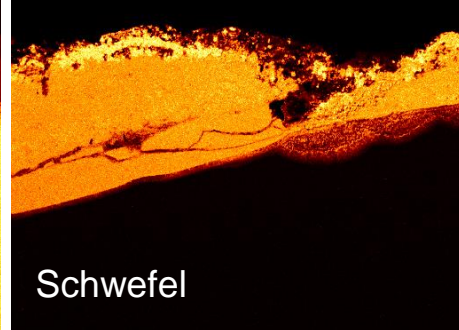


Taupunktsunterschreitung von Schwefelsäure. Im normalen Betrieb ein Sonderfall. Im Provokationstest methodisch gut nachweisbar.





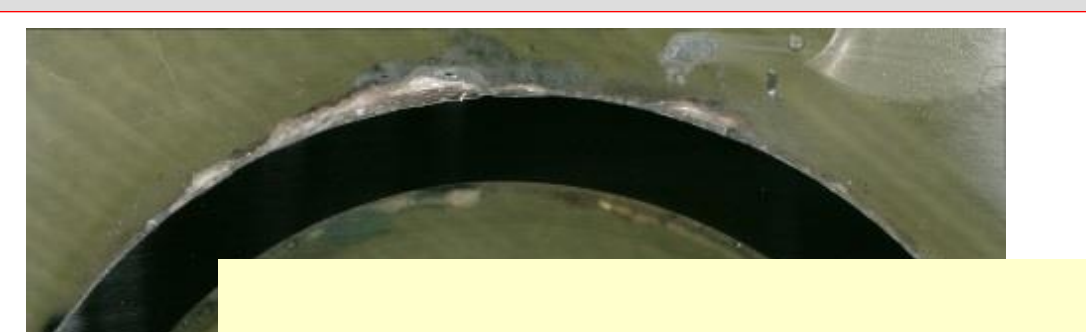






Beispiel – niedriges Temperaturmilieu: Hier Schwefelsäure

Hoher Gehalt Niedriger Gehalt



Danke für die Aufmerksamkeit

Siehe auch: Herzog, T.; Müller, W.; Spiegel, W.; Brell, J.; Molitor, D.; Schneider, D.: Korrosion durch Taupunkte und deliqueszente Salze im Dampferzeuger und in der Abgasreinigung. In: Thomé-Kozmiensky, K. J. und Beckmann, M. (Hrsg.): Energie aus Abfall, Band 9. Neuruppin: TK Verlag Karl Thomé-Kozmiensky, 2012, S. 429-460



